

CAPÍTULO 5 – EBULIÇÃO E CONDENSAÇÃO

Prof. Dr. Santiago del Rio Oliveira

- Serão analisados processos que ocorrem em uma interface sólido-líquido ou interface sólido-vapor.
- Esses processos são conhecidos como ebulição (líquido para vapor) e condensação (vapor para líquido).
- Efeitos de calor latente associados com a mudança de fase são significativos.
- A ebulição é mantida pela transferência de calor a partir da superfície sólida.
- A condensação é mantida pela transferência de calor para a superfície sólida.
- Como envolvem movimentação de fluido, a ebulição e a condensação são classificadas como transferência de calor por convecção.

- Entrentanto, na mudança de fase, a transferência de calor para ou a partir de um fluido pode ocorrer sem influenciar na sua temperatura.
- Na ebulição e condensação altas taxas de transferência de calor podem ser conseguidas com pequenas diferenças de temperaturas.
- Na ebulição e condensação são importantes: calor latente h_{fg} , tensão superficial na interface sólido-líquido σ , diferença de massas específicas $\rho_l \rho_v$.
- A diferença $\rho_l \rho_v$ induz uma força de empuxo por unidade de volume $g(\rho_l \rho_v)$.

- Em função dos efeitos combinados de calor latente e do escoamento induzido pelo empuxo, as taxas e os coeficientes de transferência de calor na ebulição e na condensação são **muito maiores** do que aqueles da transferência de calor por convecção sem mudança de fase.
- Aplicações: caldeiras e condensadores de ciclos de potência a vapor, evaporadores e condensadores de ciclos de refrigeração por compressão de vapor.
- Os objetivos desse capítulo são:
- 1. Entender como ocorre o processo de ebulição/condensação e as suas principais formas.
 - 2. Identificas adimensionais importantes para o processo.
 - 3. Conhecer expressões empíricas utilizadas para avaliar os coeficientes de convecção nestas situações.

5.1 PARÂMETROS ADIMENSIONAIS NA EBULIÇÃO E NA CONDENSAÇÃO

- Pela dificuldade em se desenvolver as equações que governam os processos de ebulição e de condensação, os parâmetros adimensionais apropriados podem ser obtidos usando o teorema Pi de Buckingham.
- Para ambos os processos, o coeficiente convectivo *h* depende:
- 1. Da diferença entre as temperaturas na superfície e de saturação $\Delta T = |T_s T_{sat}|$
 - 2. Da força de corpo originada na diferença de massas específicas entre as fases líquida e vapor $g(\rho_l \rho_v)$
 - 3. Do calor latente h_{fg}
 - 4. Da tensão superfícial σ

5. De um comprimento característico L

6. Das propriedades termofísicas do líquido ou do vapor ρ, c_p, k, μ

• Dessa forma:
$$h = f[\Delta T, g(\rho_l - \rho_v), h_{fg}, \sigma, L, \rho, c_p, k, \mu]$$

• Através de análise dimensional obtém-se que:

$$\frac{hL}{k} = f \left[\frac{\rho g(\rho_l - \rho_v)L^3}{\mu^2}, \frac{c_p \Delta T}{h_{fg}}, \frac{\mu c_p}{k}, \frac{g(\rho_l - \rho_v)L^2}{\sigma} \right]$$

• Definindo os grupos adimensionais:

Nu_L =
$$f\left[\frac{\rho g(\rho_l - \rho_v)L^3}{\mu^2}$$
, Ja, Pr, Bo

• Número de Jakob, Ja =
$$\frac{c_p \Delta T}{h_{fg}}$$
 = $\frac{\text{máxima energia sensível absorvida pelo fluido}}{\text{energia latente absorvida pelo fluido}}$

• Número de Bond, Bo =
$$\frac{g(\rho_l - \rho_v)L^2}{\sigma}$$
 = $\frac{\text{força de empuxo}}{\text{força de tensão superficial}}$

• $\frac{\rho g(\rho_l - \rho_v)L^3}{\mu^2}$, representa o efeito do movimento do fluido induzido pelo empuxo na transferência de calor.

5.2 MODOS DE EBULIÇÃO

• Quando a evaporação ocorre em uma interface sólido-líquido, ela é chamada ebulição.

- Esse processo ocorre quando a temperatura da superfície T_s é superior à temperatura de saturação T_{sat} correspondente à pressão no líquido.
- Calor é transferido da superfície sólida para o líquido e a forma apropriada da lei do resfriamento de Newton é:

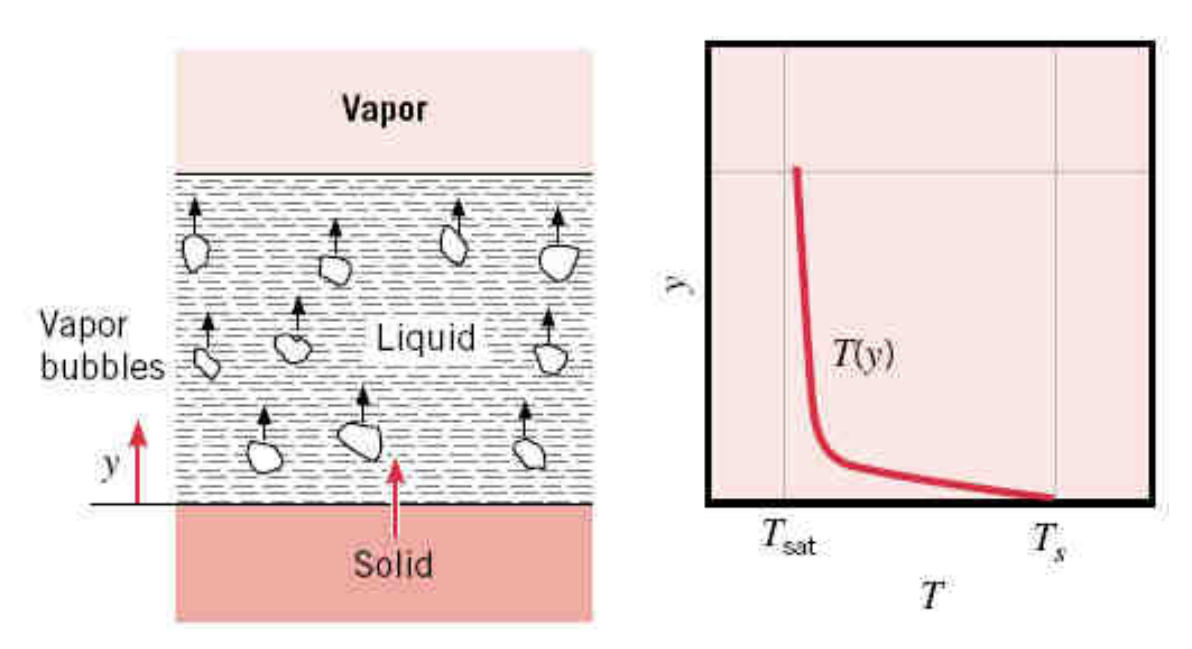
$$q_s'' = h(T_s - T_{sat}) = h\Delta T_e$$

- $\Delta T_e = T_s T_{sat}$ é chamado de excesso de temperatura.
- O processo é caracterizado pela formação de bolhas de vapor que crescem e, em seguida, se desprendem da superfície.
- O crescimento e a dinâmica da bolha dependem: do excesso de temperatura, da natureza da superfície e das propriedades termofísicas do fluido.

- A dinâmica da formação da bolha de vapor afeta o movimento do líquido próximo à superfície, e consequentemente, o valor de h.
- Tipos de ebulição:
- 1. Ebulição em piscina: o líquido encontra-se quiescente e o seu movimento próximo à superfície é devido à convecção natural e à mistura induzida pelo crescimento e o desprendimento das bolhas.
- 2. Ebulição com convecção forçada: o movimento do fluido é induzido por meios externos, bem como pela convecção natural e pela mistura induzida pelas bolhas.
- 3. Ebulição sub-resfriada: a temperatura do líquido encontra-se abaixo da temperatura de saturação e as bolhas formadas na superfície podem se condensar no líquido.
- **4. Ebulição saturada**: a temperatura do líquido excede ligeiramente a temperatura de saturação na ebulição saturada e as bolhas formadas na superfície são impelidas através do líquido pelas forças de empuxo e afloram na superfície livre.

5.3 EBULIÇÃO EM PISCINA

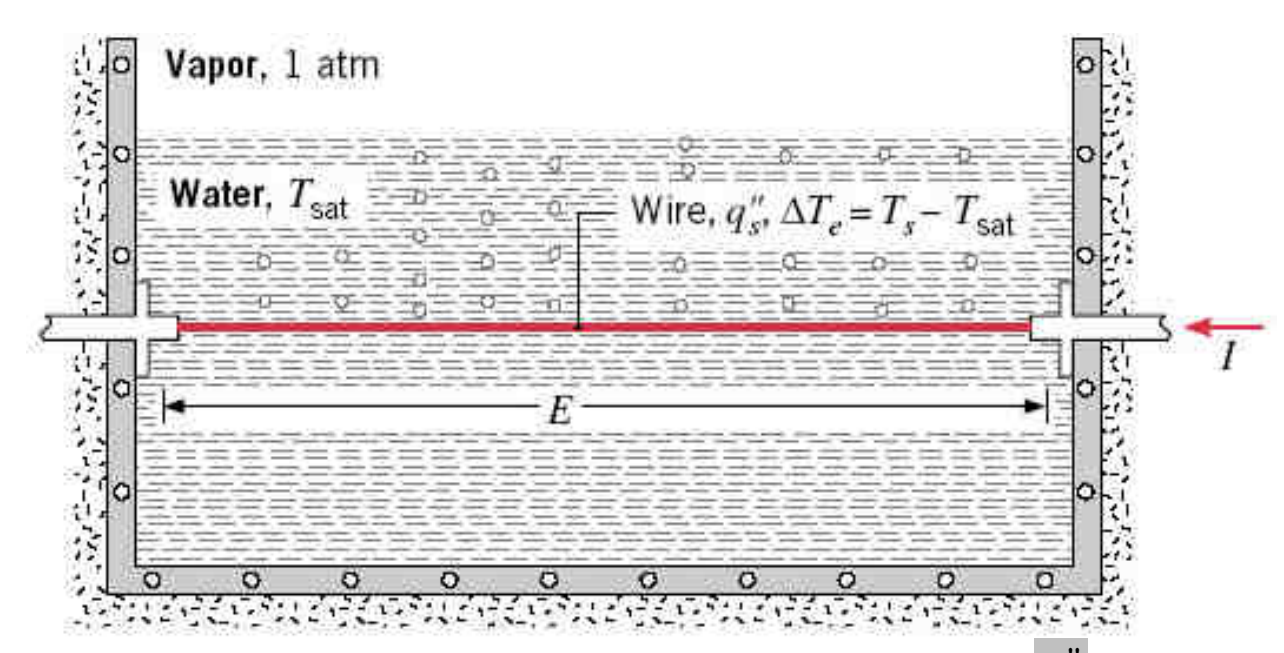
• Embora exista um aumento brusco na temperatura do líquido próximo a superfície do sólido, a temperatura na maior parte do líquido permanece ligeiramente acima do valor de saturação (ebulição em piscina saturada).



• As bolhas geradas na interface líquido-sólido ascendem e afloram na interface líquido-vapor.

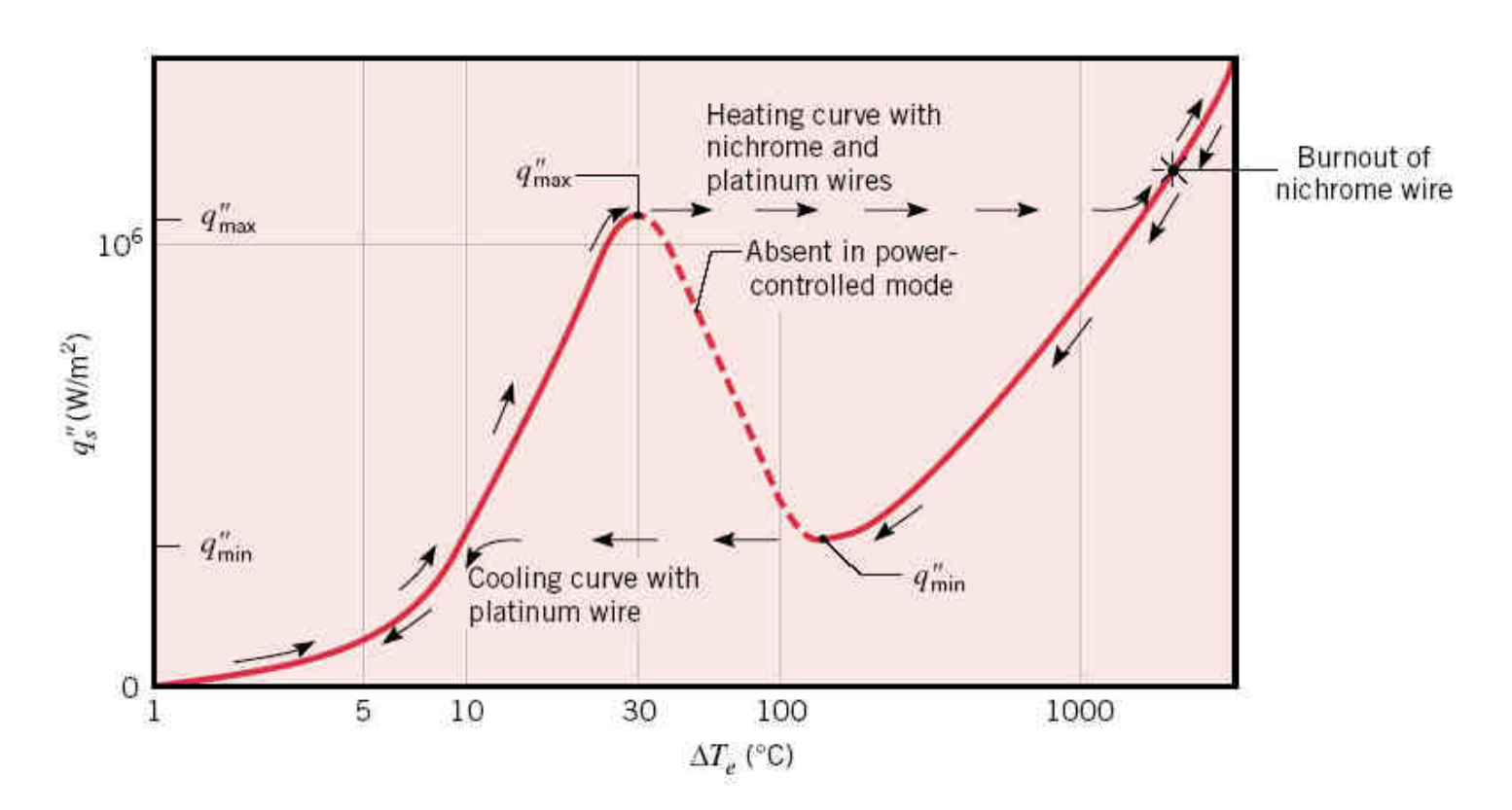
5.3.1 A curva de ebulição

• Utilizando o equipamento abaixo, Nukiyama identificou diferentes regimes de ebulição em piscina.



• Com valores de I e E determinou-se o fluxo térmico q_s de um fio horizontal de níquel-cromo para a água saturada.

- Ajustando a potência (fluxo térmico q_s) obtém-se a temperatura do fio T_s (excesso de temperatura ΔT_e).
- Tem-se a curva de ebulição para água saturada a pressão atmosférica.



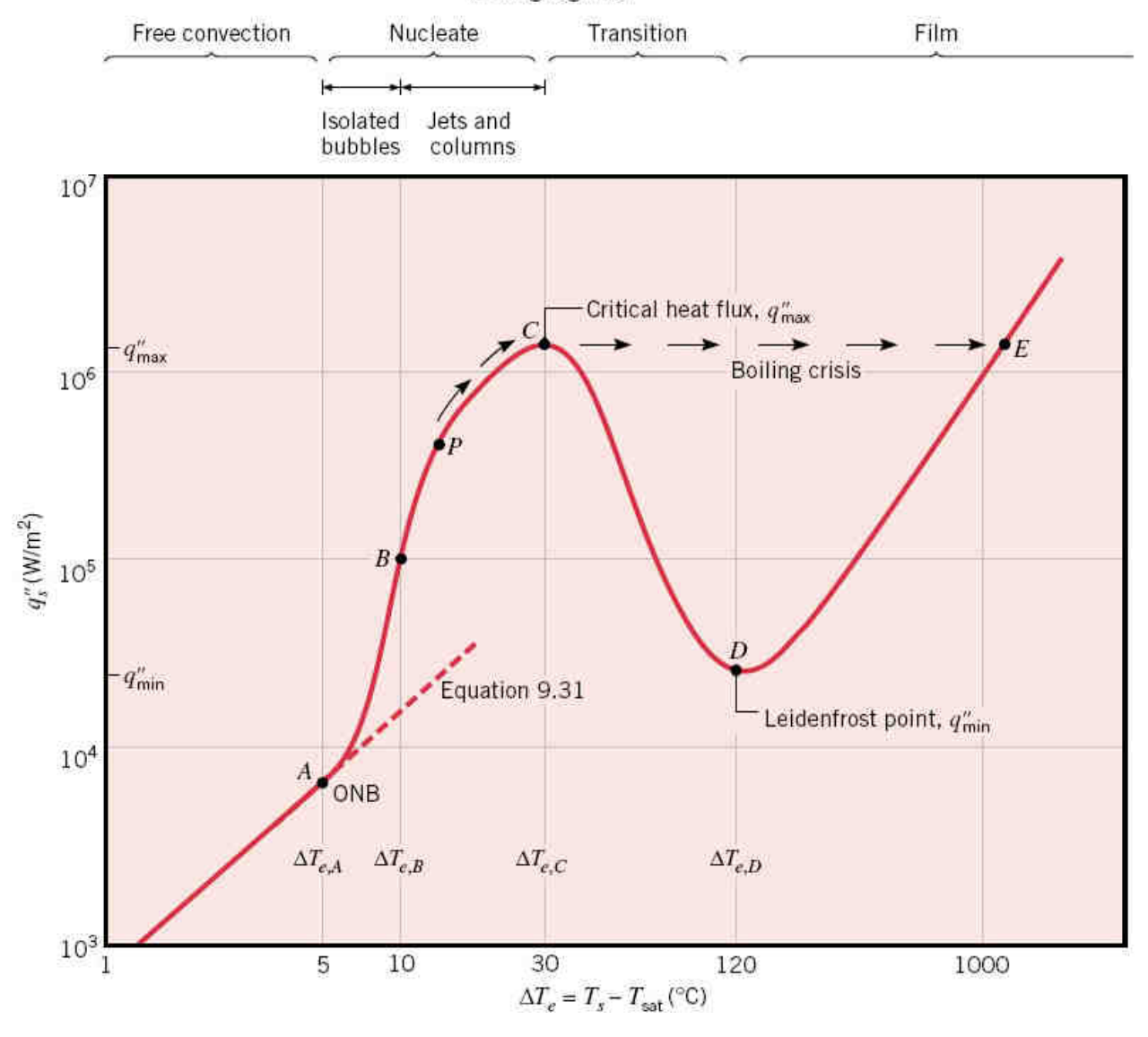
- Pela curva, com o aumento de $q_s^{"}$ nota-se um aumento de ΔT_e (curva de aquecimento).
- Nukiyama observou que a ebulição (evidenciada pela presença de bolhas) não iniciou até que $\Delta T_e \approx 5$ °C.
- Aumentando a potência, foi notado grande aumento do fluxo térmico até que, subitamente, em q''_{max} a temperatura do fio deu um salto e superou a temperatura de fusão do fio, rompendo-o.
- O experimento foi repetido com um fio de platina que possui ponto de fusão mais elevado (2045 K contra 1500 K) e foi possível manter fluxos térmicos acima de q''_{max} sem a ocorrência de ruptura do fio.
- Reduzindo a potência, a variação de ΔT_e com $q_s^{"}$ segue a curva de resfriamento acima.

- Quando o fluxo térmico atinge o ponto de mínimo $q_{\min}^{"}$ uma diminuição adicional de potência causa uma queda brusca do excesso de temperatura e o processo original passa a seguir a curva de aquecimento original.
- Nukyiama notou um efeito de histerese na curva, atribuindo esse fato como uma consequência de método de aquecimento (potência controlada) com ΔT_e sendo uma variável dependente.
- Sua previsão foi confirmada anos mais tarde com um método de controle de ΔT_e como variável independente, obtendo a parte que faltava da curva de ebulição.

5.3.2 Modos de ebulição em piscina

• Abaixo pode ser visto a curva de ebulição para a "água a 1 atm", embora tendências semelhantes caracterizem o comportamento de outros fluidos.





- Ebulição com convecção natural: ocorre quando $\Delta T_e \leq \Delta T_{e,A}$, onde $\Delta T_{e,A} \approx 5$ °C.
- Nesta etapa, o excesso de temperatura é insuficiente para provocar o aparecimento de bolhas.
- Em função de o escoamento ser laminar ou turbulento, h varia com ΔT_e elevado a 1/4 ou 1/3 e q_s varia com ΔT_e elevado a 5/4 ou 4/3.
- Aproxima-se de um processo de convecção natural mais intenso.
- Valores do coeficiente convectivo podem ser calculados com o uso das correlações próprias da convecção natural.
- Ebulição nucleada: ocorre quando $\Delta T_{e,A} \leq \Delta T_e \leq \Delta T_{e,C}$, onde $\Delta T_{e,C} \approx 30$ °C.

Bolhas isoladas:

- 1. Bolhas se formam na superfície e ascendem no fluido.
- 2. Aumentam os valores de h e q_s .
- 3. Esse aumento é devido a mistura no fluido próximo à superfície.
- 4. A troca de calor se dá por transferência direta da superfície para o líquido.

• Jatos ou colunas:

- 1. A formação de bolhas se torna mais intensa e o vapor ascende como jatos de bolhas ou colunas de bolhas.
- 2. A interferência entre as bolhas aglomeradas inibe o movimento do líquido próximo a superfície.
- 3. No ponto P o coeficiente de transferência de calor atinge seu máximo, embora q_s continue a aumentar.

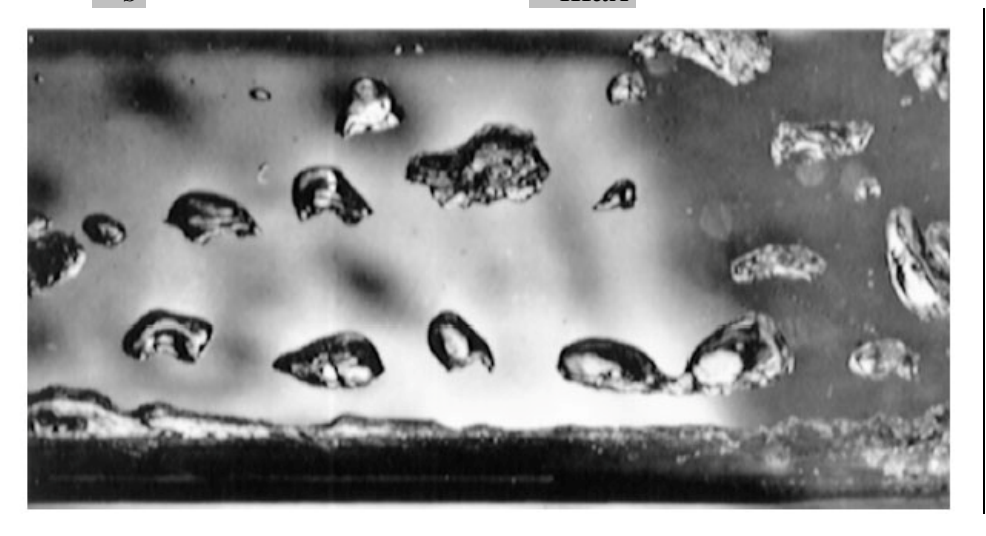


Ebulição nucleada no regime de jatos de bolhas ou colunas de bolhas

- No ponto C $q_{s,c}^{"} = q_{max}^{"}$ é o fluxo térmico máximo (fluxo térmico crítico) que para a água a 1 atm é superior a 1 MW/m².
- No ponto de máximo, um quantidade considerável de vapor está sendo formada, tornando difícil para o líquido molhar continuamente a superfície.
- Ebulição no regime de transição: ocorre quando $\Delta T_{e,C} \leq \Delta T_e \leq \Delta T_{e,D}$, onde $\Delta T_{e,D} \approx 120$ °C.

- A formação de bolhas é tão rápida que um filme de vapor se forma sobre a superfície do fio.
- As condições oscilam entre a ebulição nucleada e a ebulição em filme.
- Nessa etapa h e q_s diminuem com o aumento de ΔT_e por instabilidade.
- Em processos de aquecimento com fluxo de calor controlado essa região não se apresenta.
- Ebulição em filme: ocorre quando $\Delta T_e \ge \Delta T_{e,D}$, onde $\Delta T_{e,D} \approx 120$ °C.
- Ocorre para temperaturas acima do ponto de Leidenfrost, na qual o fluxo térmico atinge seu mínimo, $q_{s,D}^{"} = q_{\min}^{"}$.
- Nessa etapa se forma uma manta de vapor sobre a superfície.

- A partir do ponto de Leidenfrost, $q_s^{"}$ aumenta com ΔT_e devido as trocas de calor por condução e radiação.
- $q_s^{"}$ atinge o valor de $q_{\max}^{"}$ e até o supera, mas com valores de ΔT_e elevados.



Ebulição em filme

- Ponto de Leidenfrost: é o ponto onde existe uma troca de calor mínima local.
- Há a formação de uma camada de vapor sobre a superfície quente que dificulta a troca de calor.

- A partir dele, existe uma inflexão da curva de ebulição e $q_s^{"}$ volta a aumentar.
- Separa a região de transição da região de filme.



- Como $T_{s,E}$ pode exceder o ponto de fusão do sólido, pode ocorrer a destruição ou a fadiga do sistema.
- O ponto C é o ponto de queima ou crise de ebulição, e o conhecimento preciso do fluxo térmico crítico (FTC), $q_{s,C}^{"} = q_{\max}^{"}$ é importante no projeto de superfícies de transferência de calor.

5.4 CORRELAÇÕES DA EBULIÇÃO EM PISCINA

• Abaixo de $\Delta T_{e,A}$ correlações de convecção natural são adequadas (capítulo 9).

5.4.1 Ebulição nucleada em piscina

- Exige a estimativa do número de sítios de nucleação na superfície e a frequência de formação de bolhas em cada sítio.
- Yamagata et al. (1955) mostrou que $q_s^{"}$ é proporcional a ΔT_e^3 .
- A correlação de Rohsenow (1952) é amplamente utilizada para ebulição nucleada:

$$q_s'' = \mu_l h_{fg} \left[\frac{g(\rho_l - \rho_v)}{\sigma} \right]^{1/2} \left(\frac{c_{p,l} \Delta T_e}{C_{s,f} h_{fg} \operatorname{Pr}_l^n} \right)^3$$

Valores de $C_{s,f}$ e n para várias combinações superfície-fluido.

s, j		
Combinação superfície-fluido	$C_{s,f}$	n
Água cobre		
Riscada	0,0068	1,0
Polida	0,0128	1,0
Água-aço inoxidável		
Atacada quimicamente	0,0133	1,0
Polida mecanicamente	0,0132	1,0
Esmerilhada e polida	0,0080	1,0
Água-latão	0,0060	1,0
Água-níquel	0,0060	1,0
Água-platina	0,0130	1,0
n-Pentano-cobre		
Polida	0,0154	1,7
Esmerilhada	0,0049	1,7
Benzeno-cromo	0,0101	1,7
Álcool etílico-cromo	0,0027	1,7

• Erros na avaliação de $q_s^{"}$ podem chegar a $\pm 100\%$, sendo que os erros podem ser reduzidos por um fator igual a 3 para estimar ΔT_e .

5.4.2 Fluxo térmico crítico na ebulição nucleada em piscina

- É importante o conhecimento do fluxo térmico crítico $q_{s,C}^{"} = q_{\max}^{"}$.
- Pode-se operar um processo de ebulição próximo a esse ponto, mas deve-se evitar dissipar calor além desse limite.
- Kutateladze (1948) e Zuber (1958) obtiveram a seguinte expressão:

$$\ddot{q}_{\text{max}} = Ch_{fg}\rho_{v} \left[\frac{\sigma g(\rho_{l} - \rho_{v})}{\rho_{v}^{2}} \right]^{1/4}$$

• Essa expressão independe do material da superfície.

- C = 0.131 para cilindros horizontais e esferas (constante de Zuber) e C = 0.149 para grandes placas horizontais.
- As propriedades devem ser avaliadas na temperatura de saturação.
- A equação acima se aplica quando o comprimento característico da superfície aquecida, L, é grande em relação ao diâmetro das bolhas, D_B .
- Quando o aquecedor é pequeno, de tal forma que o número de confinamento $Co = \sqrt{\frac{\sigma}{g(\rho_l \rho_v)L}} \ge 0.2$ deve-se utilizar um fator de correção proposto por Lienhard (1987).
- Cichelli e Bonilla (1945) mostraram que o fluxo térmico crítico depende fortemente da pressão.

5.4.3 Fluxo térmico mínimo

- Localizado no ponto de Leidenfrost, e determina o início da ebulição em filme estável.
- Representa o valor mínimo do fluxo de calor na qual se obtém um filme de vapor estável.
- Se o fluxo térmico cair para um valor abaixo desse mínimo, o filme irá colapsar, causando o resfriamento da superfície e o restabelecimento de uma condição de ebulição nucleada.
- Zuber (1958) obteve a seguinte expressão para uma grande placa horizontal:

$$\ddot{q_{\min}} = C\rho_{\nu}h_{fg}\left[\frac{g\sigma(\rho_l - \rho_{\nu})}{(\rho_l + \rho_{\nu})^2}\right]^{1/4}$$

• As propriedades são avaliadas na temperatura de saturação.

• C = 0.09 para a maioria dos fluidos à pressões moderadas.

5.4.4 Ebulição em filme em piscina

• Um filme contínuo de vapor cobre a superfície e não há contato entre a fase líquida e a superfície.

• Para cilindros e esferas:
$$\overline{\text{Nu}}_D = \frac{\overline{h}_{conv}D}{k_v} = C \left[\frac{g(\rho_l - \rho_v)h'_{fg}D^3}{v_v k_v (T_s - T_{sat})} \right]^{1/4}$$

- C = 0.62 para cilindros horizontais e C = 0.67 para esferas.
- As propriedades do vapor são estimadas na temperatura de filme $T_f = (T_s + T_{sat})/2$.
- A massa específica do líquido é avaliada na temperatura de saturação.

- $h'_{fg} = h_{fg} + 0.80c_{p,v}(T_s T_{sat})$ é o calor latente corrigido.
- Para $T_s \ge 300$ °C deve-se levar em conta a transferência de calor por radiação através do filme de vapor. A radiação atua para aumentar a espessura do filme.
- Para ebulição em torno de tubos horizontais, Bromley (1950) propôs a seguinte equação transcendental para o coeficiente médio de transferência de calor:

$$\overline{h}^{4/3} = \overline{h}_{conv}^{4/3} + \overline{h}_{rad}\overline{h}^{1/3}$$

• Se $\overline{h}_{rad} < \overline{h}_{conv}$ uma forma mais simples pode ser usada:

$$\overline{h} = \overline{h}_{conv} + \frac{3}{4}\overline{h}_{rad}$$

• O coeficiente radiativo efetivo \bar{h}_{rad} é determinado por:

$$\overline{h}_{rad} = \frac{\varepsilon \sigma \left(T_s^4 - T_{sat}^4\right)}{T_s - T_{sat}}$$

5.4.5 Efeitos paramétricos na ebulição em piscina

- A influência do campo gravitacional sobre a ebulição deve ser considerada em aplicações que envolvem viagens espaciais e máquinas rotativas.
- Se um líquido em um sistema de ebulição em piscina estiver a uma temperatura menor do que a temperatura de saturação diz-se que o líquido está sub-resfriado, onde $\Delta T_{sub} = T_{sat} T_{liq}$.
- No regime de convecção natural, o fluxo térmico aumenta em função de $(T_s T_{liq})^{5/4}$ ou $(\Delta T_e + \Delta T_{sub})^{5/4}$.

- Na ebulição nucleada, a influência do sub-resfriamento é desprezível, embora os fluxos térmicos máximo e mínimo, $q_{\max}^{"}$ e $q_{\min}^{"}$, aumentem linearmente com ΔT_{sub} .
- Na ebulição em filme, o fluxo térmico aumenta fortemente com o aumento de ΔT_{sub} .
- A influência da rugosidade da superfície (usinagem, introdução de ranhuras, entalhe ou jateamento de areia) sobre os fluxos térmicos máximo e mínimo e sobre a ebulição em filme é desprezível.

5.5 EBULIÇÃO COM CONVECÇÃO FORÇADA

• Na ebulição em piscina, o escoamento ocorre principalmente em função do movimento das bolhas induzido pelo empuxo originado na superfície aquecida.

- Na ebulição com convecção forçada, o escoamento é devido a uma movimentação dirigida do fluido, bem como em função dos efeitos do empuxo.
- As condições dependem da geometria, podendo envolver escoamento externo ou interno.

5.5.1 Ebulição com convecção forçada em escoamento externo

• Para um líquido com velocidade V em escoamento cruzado sobre um cilindro com diâmetro D, Lienhard e Eichhorn (1976) desenvolveram a seguir as seguintes expressões:

• Baixa velocidade:
$$\frac{q_{\text{max}}^{"}}{\rho_{v}h_{fg}V} = \frac{1}{\pi} \left[1 + \left(\frac{4}{\text{We}_{D}} \right)^{1/3} \right]$$

• Alta velocidade:
$$\frac{q_{\text{max}}^{"}}{\rho_{v}h_{fg}V} = \frac{(\rho_{l}/\rho_{v})^{3/4}}{169\pi} + \frac{(\rho_{l}/\rho_{v})^{1/2}}{19,2\pi \text{We}_{D}^{1/3}}$$

- We_D = $\frac{\rho_v V^2 D}{\sigma}$ é o número de Weber (razão entre força de inércia e força de tensão superficial).
- Escoamento de alta velocidade: $\frac{q_{\text{max}}^{"}}{\rho_{v}h_{fg}V} < \left[\left(\frac{0,275}{\pi} \right) \left(\frac{\rho_{l}}{\rho_{v}} \right)^{1/2} + 1 \right]$
- Escoamento de baixa velocidade: $\frac{q_{\text{max}}^{"}}{\rho_{v}h_{fg}V} > \left[\left(\frac{0,275}{\pi} \right) \left(\frac{\rho_{l}}{\rho_{v}} \right)^{1/2} + 1 \right]$

5.5.2 Escoamento bifásico

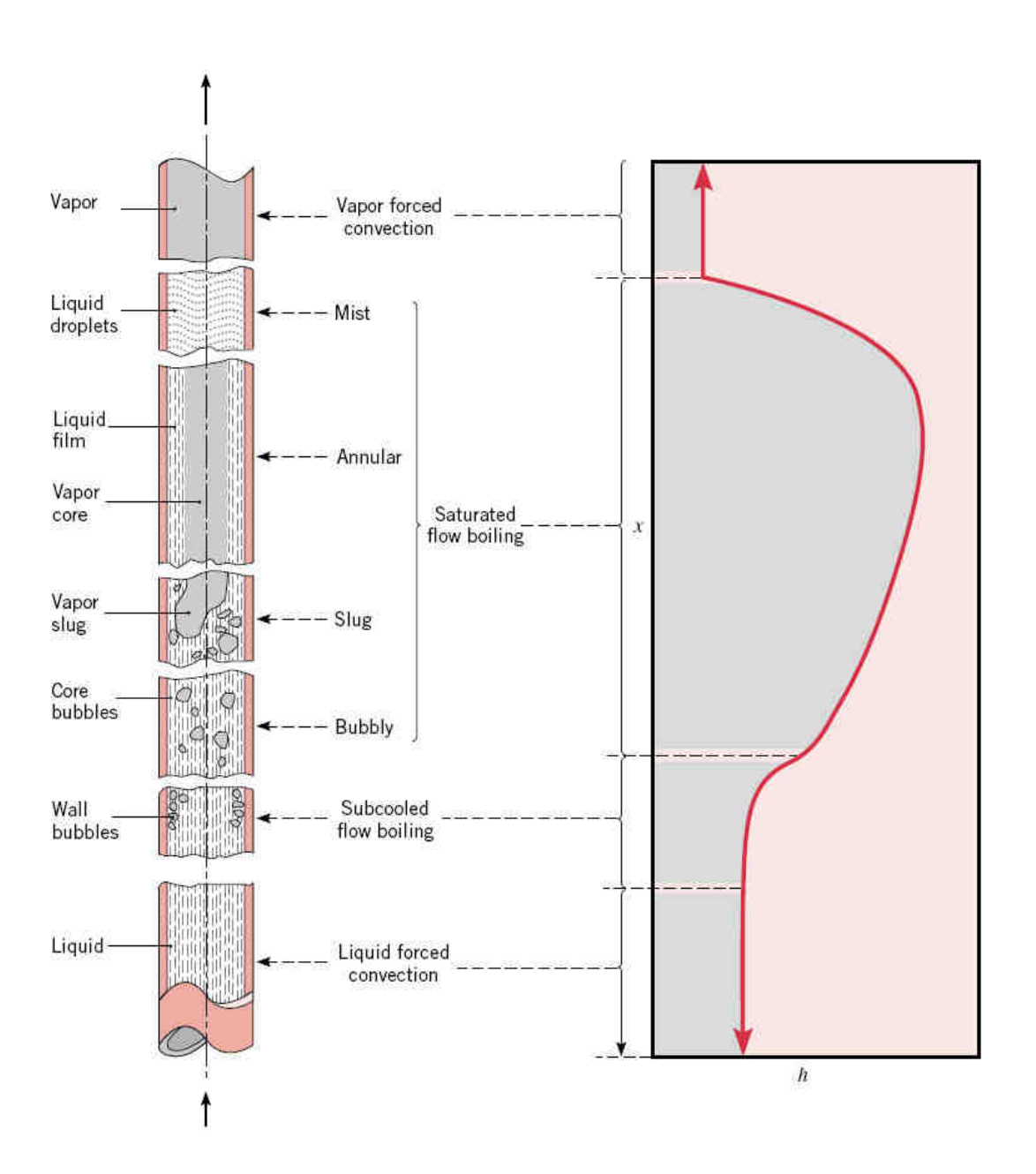
• Está associada à formação de bolhas na superfície interna de um tubo aquecido através do qual um líquido escoa.

- O crescimento e o desprendimento das bolhas são fortemente influenciados pela velocidade do escoamento.
- É necessário definir a fração mássica de vapor média: $\bar{X}(x) = \frac{q_s \pi Dx}{\dot{m} h_{fg}}$
- As seguintes correlações podem ser utilizadas para a região de ebulição com escoamento saturado em tubos circulares lisos $(0 < \overline{X} \le 0.8)$:

$$\frac{h}{h_{mf}} = 0,6683 \left(\frac{\rho_l}{\rho_v}\right)^{0,1} \overline{X}^{0,16} (1 - \overline{X})^{0,64} f(Fr) + 1058 \left(\frac{q_s''}{\dot{m}'' h_{fg}}\right)^{0,7} (1 - \overline{X})^{0,8} G_{s,f}$$

$$\frac{h}{h_{mf}} = 1,136 \left(\frac{\rho_l}{\rho_v}\right)^{0,45} \overline{X}^{0,72} (1 - \overline{X})^{0,08} f(Fr) + 667,2 \left(\frac{q_s''}{\dot{m}'' h_{fg}}\right)^{0,7} (1 - \overline{X})^{0,8} G_{s,f}$$

- $\dot{m}'' = \dot{m}/A_{tr}$ é a vazão mássica por unidade de área transversal.
- Ao utilizar as duas equações anteriores, o maior valor de h deve ser utilizado.
- Fr = $\frac{\left(\dot{m}''/\rho_l\right)^2}{gD}$ é o número de Froude da fase líquida.
- f(Fr) é unitário para tubos verticais e para tubos horizontais com $Fr \ge 0.04$.
- Para tubos horizontais com $Fr \le 0.04$, $f(Fr) = 2.63Fr^{0.3}$.
- Todas as propriedades são avaliadas na temperatura de saturação.



• O coeficiente $G_{s,f}$ depende da combinação superfície-líquido, podendo ser visualizados na tabela abaixo:

Valores de $G_{s,f}$ para várias combinações superfície-líquido.

Fluido em tubo de cobre comercial	$G_{s,f}$
Água	1,00
Querosene	0,488
Refrigerante R-134a	1,63
Refrigerante R-152a	1,10
Para tubos de aço inoxidável, use $G_{s,f} = 1$	

• h_{mf} está associado à região de convecção forçada no líquido e é obtido pela equação abaixo com as propriedades avaliadas em T_{sat} :

Nu_D =
$$\frac{(f/8)(\text{Re}_D - 1000)\text{Pr}}{1 + 12,7(f/8)^{1/2}(\text{Pr}^{2/3} - 1)}$$

• f pode ser obtido do diagrama de Moody ou para tubos lisos pela equação:

$$f = (0.790 \ln \text{Re}_D - 1.64)^{-2}$$
 $3000 \le \text{Re}_D \le 5 \times 10^6$

• As correlações para h/h_{mf} se aplicam para números de confinamento Co $\leq 1/2$:

$$Co = \sqrt{\frac{\sigma}{g(\rho_l - \rho_v)D}}$$

5.5.3 Escoamento bifásico em microcanais

- O tamanho das bolhas pode ocupar uma porção significativa do diâmetro do tubo e o número de confinamento pode se tornar muito grande.
- Nesse caso, há diferentes tipos de regime de escoamento, havendo a necessidade de se recorrer a uma modelagem mais sofisticada.